

ФЛУКТОННАЯ МОДЕЛЬ С НАРУШЕНИЕМ СКЕЙЛИНГА : EMC-ЭФФЕКТ И РОЖДЕНИЕ ЛЕПТОННЫХ ПАР НА ЯДРАХ

Н.П.Зотов¹⁾, В.А.Салеев, В.А.Царев

EMC-эффект объясняется в модели флуктонов как следствие нарушения масштабной инвариантности. Предсказывается нетривиальное поведение отношения структурных функций и сечений рождения лептонных пар для различных ядер при $x > 1$.

Проведенные в последние годы исследования кумулятивного эффекта ¹ и процессов глубоконеупругого рассеяния лептонов на ядрах ² выявили существенное различие структурных функций ядер и свободных нуклонов. Оказалось, что ядра обогащены мягкими партонами с $x \ll 1$ (EMC-эффект) ³ и, вместе с тем, содержат жесткие партоны с $x > 1$, которые не могут присутствовать в свободных нуклонах. Для объяснения этих особенностей было предложено большое число моделей (см., например, ⁴), которые, как правило, описывают экспериментальные данные либо в области $x \ll 1$, либо при $x \simeq 1$ ²⁾. В нас-

1) НИИЯФ МГУ.

2) За исключением работ ^{5, 6}. Однако в ⁵ для описания EMC-эффекта в структурную функцию флуктона явно вводится дополнительное "коллективное" море $q\bar{q}$ -пар, а в ⁶ – примесь $12q$ -кластера, что требует дополнительной параметризации структурных функций.

тоящей работе мы покажем, что единое описание структурных функций ядер в широкой области x может быть получено на основе флуктонной модели ^{7, 8} при учете КХД-эволюции кварковых распределений.

Изложение основных идей и формализма флуктонной модели можно найти, например, в обзорах ^{1, 8}. В этой модели структурная функция ядра может быть представлена следующим образом:

$$\frac{1}{A} F_2^A(x) = \sum_{k=1}^A \frac{k}{A} P(k, A) x \frac{A+3Z}{9A} \tilde{u}_k\left(\frac{x}{k}\right) + \frac{4A-3Z}{9A} \tilde{d}_k\left(\frac{x}{k}\right) + \frac{4}{3} \tilde{s}_k\left(\frac{x}{k}\right). \quad (1)$$

Здесь $x = Q^2/2m_N\nu$ – Бьеркеновская переменная; A, k – числа нуклонов в ядре и во флуктоне; Z – заряд ядра; \tilde{u}_k, \tilde{d}_k и \tilde{s}_k – распределения u -, d - и s -кварков во флуктоне; $P(k, A)$ – вероятность образования в ядре флуктона, состоящего из k нуклонов. В модели разряженного нуклонного газа

$$P(k, A) \simeq \frac{A!}{k!(A-k)!} \left(\frac{\rho_0}{A}\right)^{k-1}, \quad (2)$$

где $\rho_0 = (R_c'/r_0)^3 \simeq 0,1$; $r_0 = R_A/A^{1/3}$, R_c' – радиус когерентности.

При вычислении структурных функций будем учитывать нарушение скейлинга. Соответствующую зависимость от Q кварковых распределений параметризуем в следующей форме ⁹:

$$q(x, Q^2) = q(x, Q_0^2)(Q^2/Q_0^2)^{f(x)}, \quad f(x) = 0,25 - x. \quad (3)$$

Входящий в (3) масштабный фактор Q_0^2 , определяющий эволюцию партонных распределений, зависит от характерных размеров R_c области распространения цветовых степеней свободы и ожидается, что он различен для различных ядер ¹⁰. Это означает, что сравнение кварковых распределений q_N^A для нуклонов, входящих в состав разных ядер, необходимо производить при различных значениях Q^2 , т. е.

$$q_N^{A_i}(x, Q_i^2) = q_N^{A_j}(x, Q_j^2) = q_N(x, Q^2), \quad (4)$$

или, учитывая (3),

$$q_N^{A_i}(x, Q^2) = q_N(x, Q^2)(Q^2/Q_i^2)^{f(x)}, \quad (5)$$

где q_N – структурные функции свободного нуклона. В численных расчетах мы использовали следующую параметризацию для q_N :

$$u(x) = \frac{2,25}{\sqrt{x}} (1-x)^3, \quad d(x) = \frac{1,23}{\sqrt{x}} (1-x)^4, \quad s(x) = \frac{0,25}{x} (1-x)^7. \quad (6)$$

Довольно очевидно, что в модели флуктонов R_c определяется величиной среднего числа нуклонов $\langle k \rangle$ на флуктон в ядре:

$$\langle k \rangle_A = \frac{\sum_{k=1}^A k P(k, A)}{\sum_{k=1}^A P(k, A)}. \quad (7)$$

Поэтому

$$\frac{Q_i^2}{Q_j^2} \simeq \left(\frac{\langle k \rangle_{A_j}}{\langle k \rangle_{A_i}} \right)^{2\lambda/3}, \quad (8)$$

где показатель

$$\lambda \approx \alpha_s(R_j^{-2})/\alpha_s(Q_j^2) \quad (9)$$

мы будем рассматривать как единственный свободный параметр модели.

Для сравнения с экспериментальными данными ^{2,3} вычислим, пользуясь (1) – (9), отношение

$$R(A_2, A_1) = \frac{A_2^{-1} F_2^{A_2}(x)}{A_1^{-1} F_1^{A_1}(x)} \quad (10)$$

для $A_2 = \text{Fe}$ и $A_1 = \text{D}$. Предполагаем, как обычно, что

$$q_N^D(x, Q_D^2) \approx q_N(x, Q_D^2) = q_N(x).$$

Как видно из рис. 1, *a* модель с $\lambda = 35,36$ и $Q_D^2/Q_{\text{Fe}}^2 = 1,8$ хорошо описывает данные при $x < 1$ и предсказывает нетривиальное поведение $R(x)$ при $x > 1$, которое аналогично EMC-эффекту, но соответствует "области кумулятивности" $1 < x < 2$. Очевидно, что в данной модели аналогичные "ступени" предсказываются и при больших значениях $x (> 2)$ для отношения $R(A_2, A_1)$ с $A_2, A_1 > 2$. Примесь многонуклонных состояний $\epsilon_k^A = f_k^A/f_1^A$ ($f_k^A = (k/A)P(k, A)$) при этом составляет: $\epsilon_2^{\text{Fe}} \approx 10\%$, $\epsilon_3^{\text{Fe}} \approx 0,5\%$, $\epsilon_4^{\text{Fe}} \approx 0,015\%$, а $\epsilon_2^{\text{D}} \approx 5\%$. Используя значение параметра λ , полученное из подгонки к экспериментальным данным для $R(\text{Fe}, \text{D})$ соотношения (8), (9) и зависимость структурных функций от Q^2 (5), можно предсказать поведение $R(\text{Al}, \text{D})$, которое показано на рис. 1, *б* и также хорошо совпадает с экспериментом ² (за исключением области $x \approx 0$, где возможно влияние эффектов экранирования, которые мы не учитываем). Таким образом, рассматриваемая модель правильно воспроизводит смягчение распределения партонов в ядрах по сравнению со свободными нуклонами и наличие партонов в области $x > 1$.

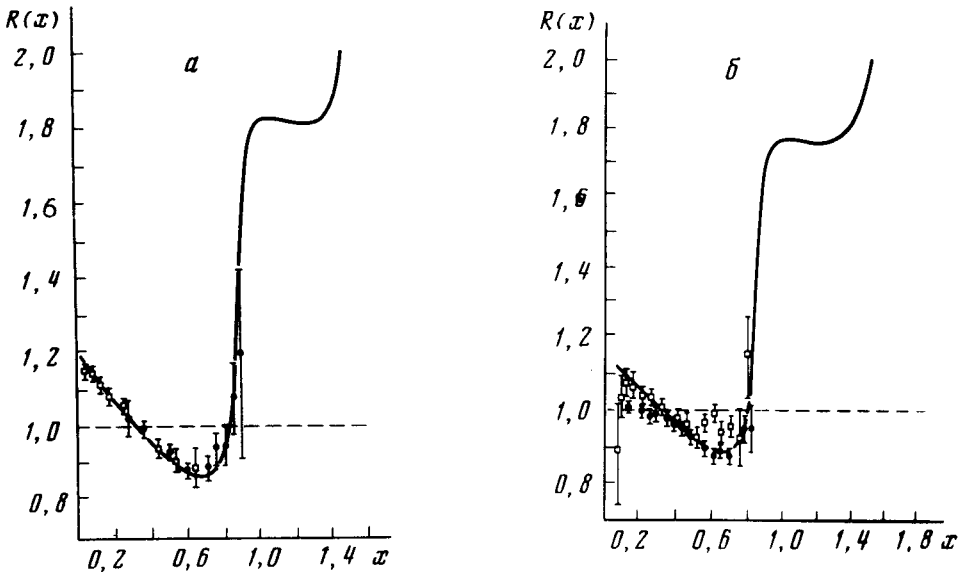


Рис. 1. *a* – Отношение структурных функций ядер Fe и D, вычисленное при $\rho_0 = 0,1$ ($R_c = 0,56 \Phi$, $r_0 = 1,2 \Phi$) и $Q_D^2/Q_{\text{Fe}}^2 = 1,8$. Экспериментальные данные из ^{2,3}; *б* – предсказание для отношения структурных функций ядер Al и D. Экспериментальные данные из ^{2,3}

Аналогичным образом в рассматриваемой модели можно вычислить сечение рождения массивных лептонных пар на различных ядрах. Результаты расчетов для отношения $R'(\alpha) = \frac{1}{56} \frac{d\sigma}{d\alpha} (p\text{Fe} \rightarrow \bar{l}X) / \frac{1}{2} \frac{d\sigma}{d\alpha} (p\text{D} \rightarrow \bar{l}X)$ приведенные на рис. 2, показывают, что поведение R' очень похоже на поведение $R(x)$. Измерение R' в широкой области α и для различных наборов ядер дало бы дополнительную информацию, важную как для изучения кварковых распределений в ядрах, так и для дискриминации различных теоретических моделей.

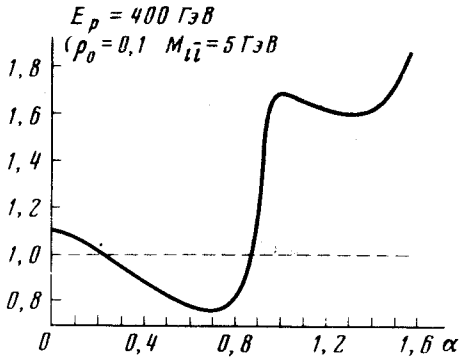


Рис. 2. Предсказание для отношения сечений рождения лептонных пар на ядрах Fe и D при $E_p = 400$ ГэВ и $M_{\bar{l}} = 5$ ГэВ

Следует отметить, что аналогичный подход, основанный на КХД-эволюции кварковых распределений, для описания ЕМС-эффекта использовался в работе ¹¹. Однако, использование в ней понятия "среднего" кластера в ядре не позволяет предсказать нетривиальное поведение отношений $R(x)$ и $R'(\alpha)$ в кумулятивной области, точно так же, как и в моделях с дополнительным $q\bar{q}$ -морем ⁵ и $12q$ -кластером ⁶.

Литература

1. Балдин А.М. Краткие сообщения по физике ФИАН, 1971, №1, 35; ЭЧАЯ, 1977, 8, 429; JINR preprint E2-83-415, 1983.
2. Bodek A. University of Rochester preprint UR 858, 1983; Arnold R.G. et al. Preprint SLAC-PUB-3320, 1984; Савин И.А. Труды VI Международного семинара по проблемам физики высоких энергий. ОИЯИ, Д1, 2-81-728, стр. 223, Дубна, 1981.
3. Aubert J.J. et al. Phys. Lett., 1983, 123B, 275.
4. Llewellyn Smith C.H. Oxford preprint 37/83, 1983.
5. Efremov A.V., Bondarchenko E.A. JINR preprint E2-84-124, 1984.
6. Кондратьев А.А., Шматиков М.Ж. Письма в ЖЭТФ, 1984, 39, 324.
7. Блохинцев Д.И. ЖЭТФ, 1957, 33, 1295.
8. Ефремов А.В. ЭЧАЯ, 1982, 13, 613.
9. Perkins D.H., Schreiner P., Scott W. Phys. Lett., 1977, 67B, 347.
10. Jaffe R.L. Phys. Rev. Lett., 1983, 50, 228; Close F.E., Roberts R.G., Ross G.G. Phys. Lett., 1983, 129B, 346.
11. Dias de Deus J., Pimenta M., Varela J. Preprint CFMC E-1/84, 1984.